

# 固液混相開水路流れの濃度分布特性に関する実験的研究

京都大学防災研究所 正員 今本 博健  
京都大学防災研究所 正員 大年 邦雄  
京都大学大学院 学生員 ○吉村 庄平

## 1.はじめに

固体浮遊粒子の濃度分布式として従来より種々提案されつつあるものの中でも、計測値との適合性および分布形状の簡便さという観点より、以下に示す Rouse式が最も優れていますといえます。

$$\frac{C}{C_a} = \left( \frac{H-y}{y} \frac{a}{H-a} \right)^{Z_1}, Z_1 = \frac{U_f}{\beta K U_f} \quad (1)$$

ここに、 $C$ および $C_a$ は水を鉛直路床からの高さ $y$ および $y=a$ における固体粒子の体積濃度、 $H$ は水深、 $U_f$ は沈降速度、 $\beta$ は比例定数、 $K$ はカルマン定数、 $v_s$ は摩擦速度である。しかし、分布式の適合性を検討した従来の研究では、砂粒子を対象としたものがほとんどである。そこで、著者らは、固体粒子の比重 $\gamma$ を $2.65$  ( $d_m=0.0105\text{cm}$ )、 $1.45$  ( $d_m=0.0115\text{cm}$ )、 $1.05$  ( $d_m=0.0337\text{cm}$ ) の3種、砂粒子については3種の粒径 ( $d_m=0.0063$ ,  $0.0105$ ,  $0.0151\text{cm}$ ) を用い、平坦固定床上の開水路流れに対する Rouse式の適合性および式中に含まれるパラメータについて検討を加える。

## 2. 実験結果および検討

$\gamma=1.05$  および $1.45$  の固体浮遊粒子についての濃度分布計測値の数例を両対数線上にプロットしたものが図-1, 2である。図において計測値の直線性が極めて良好であることより、 $\gamma=1.05$  および $1.45$  のものについても分布形状は式(1)の Rouse式で十分に表わしうることがわかる。したがって、Rouse式の適合性の検討は指数 $Z_1$ と水理量との関係を検討することに帰着するが、 $Z_1$ における $U_f$ 、 $U_f$ および $K$ は既知量として取扱われるので、結局、 $\beta$ と水理量との関係を検討することに他ならない。

なお本研究では、摩擦速度は  $U_f = \sqrt{gH} I_b$ 、 $I_b$ は平均速度分布から実測値を用いている。また、

Hirotake IMAMOTO, Kunio OHTOSHI, Shōhei YOSHIMURA

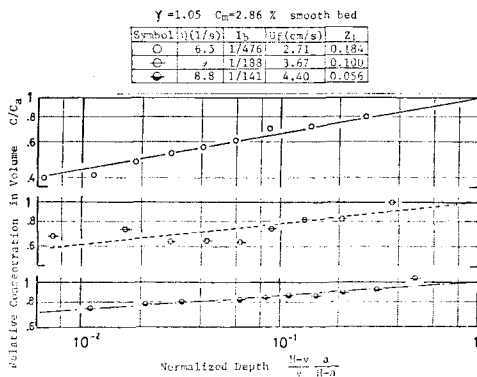


図-1 濃度分布計測例 ( $\gamma=1.05$ )

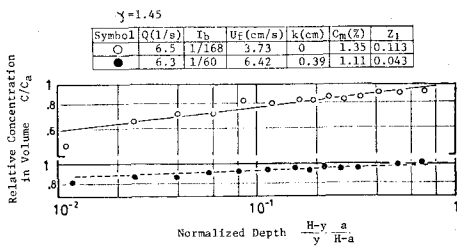


図-2 濃度分布計測例 ( $\gamma=1.45$ )

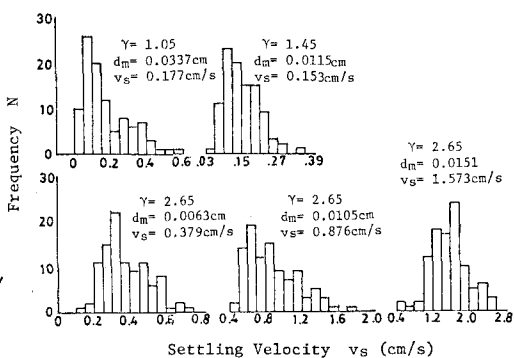


図-3 沈降速度の頻度分布

沈降速度 $v_f$ は静水中で実測し、各粒子100個につきこの平均値を採用してある。

図-3は、計測された沈降速度の度数分布を各粒子につき示したものであるが、ほぼ均一粒径の粒子でも、形状等の影響により沈降速度はかなりばらついており、これをいかに精度良く評価するかが今後重要な問題となる。

図-4は、計測された濃度分布より求まる $\beta$ 値を断面平均体積濃度に対するものである。 $\gamma=2.65$ の浮遊砂流では $\beta \approx 1$ であり、従来より指摘されてい $\beta \approx 1.2$ とほぼ一致しているが、 $\gamma=1.05, 1.45$ の場合には $\beta \approx 1 \sim 5$ と非常に大きな値となる。また、この場合には同一の $C_m$ に対する $\beta$ 値のはらつきも大きくなる。これは $\gamma_1$ 値とのものが小さいため、ひんわりかな推定誤差が $\beta$ 値に大きく反映することによるものである。

図-5および6は、 $\gamma=2.65$ の砂粒子の粒径のみを3種変化させた場合の $\beta$ 値を、それと相対沈降速度 $v_f/U_f$ および砂粒レイルズ数 $U_f d_m$ に対するものである。ただし、この場合、 $C_m$ はほぼ一定(0.26%)に保たれてある。図において、滑面上の浮遊砂流と滑面上のそれとの $\beta$ 値に若干の相異はあるが、 $\beta$ は $v_f/U_f$ および $U_f d_m$ の増加とともに減少する傾向を示してある。

以上のことは次のように説明することができる。浮遊機構では、浮遊粒子の比重および粒径は主として沈降速度 $v_f$ と密接に関与し、粒子輸送係数と運動量輸送係数の比である $\beta$ 値は、固相の液相に対する遷移と滑運動による粒子の投げ出しある2つの効果の相対的な大きさで決まると考えることができる。 $\gamma=1.05$ および $1.45$ の場合には $v_f$ が小さいため、後者の効果が前者のそれよりも卓越するため $\beta$ が1より大きな値となり、また、 $\gamma=2.65$ の場合には $v_f$ が大きいため、2つの効果が同程度となり、 $\beta$ がほぼ1になると見えるから。また、粒径の小さいほど $v_f$ が小さくなり(ただし比重は一定)後者の効果が前者のそれより卓越するため、相対沈降速度および砂粒レイルズ数の増大とともに $\beta$ は減少する。

### 3. おわりに

本研究では、濃度が沈降速度に及ぼす影響を考慮しておらず、また沈降速度の推定にも問題が残るため、今後さらに詳細な検討が必要と思われる。

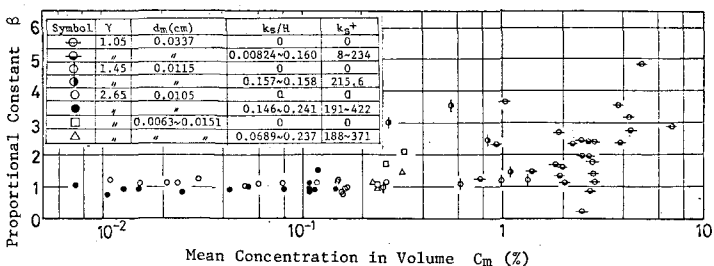


図-4 比例定数 $\beta$ と断面平均体積濃度 $C_m$ との関係

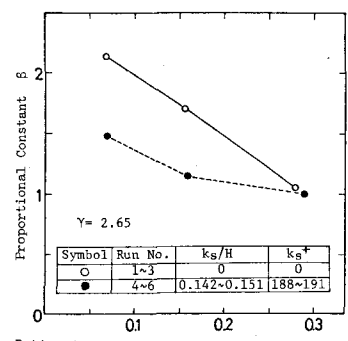


図-5 比例定数 $\beta$ と相対沈降速度との関係

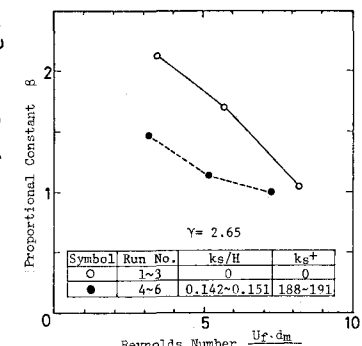


図-6 比例定数 $\beta$ と砂粒レイルズ数との関係

表-1 水理条件(図-5および6におけるもの)

| Run | $d_m (\text{cm})$ | $(\text{t} / \text{s})$ | $I_h$ | $H (\text{cm})$ | $U_f (\text{cm/s})$ | $Re$               | $Fr$ |
|-----|-------------------|-------------------------|-------|-----------------|---------------------|--------------------|------|
| 1   | 0.0063            | 6.835                   | 1/50  | 1.78            | 5.91                | $1.56 \times 10^4$ | 2.30 |
| 2   | 0.0105            | "                       | "     | "               | "                   | "                  | "    |
| 3   | 0.0151            | "                       | "     | 1.79            | 5.92                | "                  | 2.28 |
| 4   | 0.0063            | 6.818                   | 1/84  | 21.75           | 5.66                | $1.50 \times 10^4$ | 1.19 |
| 5   | 0.0105            | "                       | "     | 2.67            | 5.58                | "                  | 1.25 |
| 6   | 0.0151            | "                       | "     | 2.56            | 5.48                | "                  | 1.31 |